

เทคนิคการตรวจจับการเกิดการจ่ายไฟแบบแยกตัวอิสระ แบบพาสซีฟในการต่อต้านการเกิดการจ่ายไฟแบบแยกตัวอิสระ ในระบบจำหน่ายไฟฟ้าที่เชื่อมต่อหน่วยผลิตไฟฟ้าแบบกระจายตัว Passive Islanding Detection Techniques of Anti-Islanding for Grid-Connected Distributed Generation

มานพ ยี่รัมย์

ภาควิชาวิทยาศาสตร์และเทคโนโลยี คณะศิลปศาสตร์และวิทยาศาสตร์ มหาวิทยาลัยราชภัฏชัยภูมิ

บทคัดย่อ

บทความนี้ได้นำเสนอ เทคนิคการตรวจจับการเกิดการจ่ายไฟแบบแยกตัวอิสระแบบพาสซีฟในการต่อต้านการเกิดการจ่ายไฟแบบแยกตัวอิสระในระบบจำหน่ายไฟฟ้าที่เชื่อมต่อหน่วยผลิตไฟฟ้าแบบกระจายตัว ซึ่งเทคนิคเหล่านี้ประกอบด้วย Over/Under-Voltage (OUV) และ Over/Under-Frequency (OUF), Phase Jump Detection (PJD), detection of voltage and current harmonics และ detection based on state estimators พร้อมทั้งมีการสรุปมาตรฐานสำคัญที่เกี่ยวข้อง ประกอบด้วย IEEE Std. 929, IEEE Std. 1547, The international standard IEC 62116, Japanese Standard (JET Std. 2002), และ Korean Standard (Korean PV 501, 2008) รวมทั้งยังได้แสดงให้เห็นถึงตัวอย่างในการใช้ประโยชน์เทคนิคแบบพาสซีฟโดยใช้ over/under-voltage of passive islanding detection technique ในการทำการทดลอง จากผลการทดลองแสดงให้เห็นว่า เทคนิคแบบพาสซีฟ เป็นเทคนิคที่ ไม่มีการฉีดสัญญาณรบกวนเข้าไปยังโครงข่ายระบบไฟฟ้ากำลัง การนำไปดำเนินการใช้งานไม่ยาก มีราคาไม่แพง แต่ยังมีจุดอ่อนคือมี พื้นที่ไร้อุปกรณ์ตรวจจับ

คำสำคัญ : การตรวจจับการแยกอิสระ, หน่วยผลิตไฟฟ้าแบบกระจายตัว, เชื่อมต่อกริด

Abstract

This paper presents an overview of the passive islanding detection techniques, for power system network with distributed generation which they include Over/Under-Voltage (OUV) and Over/Under-Frequency (OUF), Phase Jump Detection (PJD), detection of voltage and current harmonics, and detection based on state estimators. The paper has synopsis of standards include IEEE Std. 929, IEEE Std. 1547, The international standard IEC 62116, Japanese Standard (JET Std. 2002), and Korean Standard (Korean PV 501, 2008). In addition to the paper showed used over/under-voltage of passive islanding detection technique in experimental. The experimental results show that the passive techniques have not signal injection of perturbation into the power system network, usability dose not difficult, and have not expensive but they have Non-Detection Zone (NDZ).

Keywords : Islanding Detection, Distributed Generation, Grid-Connected

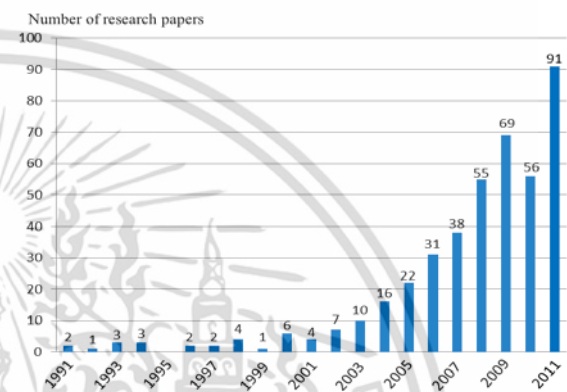
เอกสารนี้เป็นเอกสารที่สงวนไว้สำหรับการใช้งานเพื่อการศึกษาเท่านั้น ไม่อนุญาตให้นำไปใช้ประโยชน์ด้านการค้า
ไม่ว่ากรณีใดๆ ทั้งสิ้น อีกทั้งห้ามมิให้ดัดแปลงเนื้อหา และต้องอ้างอิงถึงเจ้าของเอกสารทุกครั้งที่มีการนำไปใช้

1. บทนำ

หน่วยผลิตไฟฟ้าแบบกระจายตัว (Distributed Generation; DG) ได้รับความนิยมในการดำเนินการติดตั้งเข้าสู่โครงข่ายระบบไฟฟ้ากำลัง (Power System Network) มากขึ้นเรื่อยๆ โดยเฉพาะการผลิตไฟฟ้าที่ได้มาจากพลังงานทดแทน อาทิ แผงเซลล์แสงอาทิตย์ (PV module) และกังหันลม (Wind Turbine) [1] เพราะเป็นแหล่งพลังงานสะอาดที่สามารถช่วยสร้างเสถียรภาพให้กับระบบไฟฟ้ากำลัง ลดปัญหาจากการปล่อยก๊าซคาร์บอนไดออกไซด์ (CO₂) ที่เกิดจากการเผาไหม้เชื้อเพลิงฟอสซิลเพื่อสร้างพลังงานไฟฟ้าอันเป็นสาเหตุของภาวะโลกร้อน [2] แต่การต่อหน่วยผลิตไฟฟ้าแบบกระจายตัวก็สร้างปัญหาให้กับระบบไฟฟ้ากำลังเช่นกัน หนึ่งในปัญหาที่เกิดขึ้นนั้นคือ การเกิดสถานะแยกตัวอิสระ (Islanding Condition) อันเป็นเหตุให้เกิดการจ่ายไฟแบบแยกตัวอิสระ หากสถานะนี้เกิดขึ้นจะสร้างปัญหาตามมาหลายประการ จึงจำเป็นต้องต่อต้านสถานะแยกตัวอิสระ (Anti-islanding Condition) ไม่ให้เกิดขึ้น

เทคนิคการตรวจจับสถานะแยกตัวอิสระ (Islanding Detection Techniques) เพื่อตรวจจับสถานะแยกตัวอิสระและต่อต้านการเกิดการจ่ายไฟแบบแยกตัวอิสระไม่เกิดขึ้นนั้นมีอยู่หลากหลายเทคนิคซึ่งแต่ละเทคนิคมีข้อดีข้อเสียต่างๆ กันไป โดยการพัฒนาเทคนิครวมทั้งประเด็นที่เกี่ยวข้องกับสถานะแยกตัวอิสระยังคงได้รับความสนใจ โดยเฉพาะในปัจจุบันดังจะเห็นได้จากรูปที่ 1 แสดงให้เห็นถึงปริมาณบทความวิจัยที่ได้รับการตีพิมพ์ต่อปีในเวปไซต์ IEEE Xplore ตั้งแต่ปี ค.ศ. 1991 จะเห็นได้ว่าแนวโน้มของการส่งบทความวิจัยลงตีพิมพ์มีแนวโน้มที่จะมากขึ้นเรื่อยๆ โดยสามารถที่จะแบ่งเทคนิคในการตรวจจับการแยกตัวอิสระได้เป็น 2 เทคนิคหลัก คือ เทคนิคการตรวจจับแบบรีโมท (Remote Islanding Detection Techniques) เทคนิคแบบรีโมทนี้จะใช้วิธีการในการตรวจจับผ่านระบบสื่อสารซึ่งเทคนิคนี้จะมีประสิทธิภาพสูงมากและไม่มีพื้นที่ไร้การตรวจจับ (Non-Detection Zone) แต่จุดด้อยคือมีราคาแพงมากจึงไม่เหมาะที่จะใช้กับหน่วยผลิตไฟฟ้าขนาดเล็ก (หน่วยผลิตไฟฟ้าขนาดเล็ก คือ ขนาดน้อยกว่าหรือเท่ากับ 10 kW [3]) และเทคนิคการตรวจจับแบบโลคอล (Local Islanding Detection Techniques) เป็นเทคนิคที่นิยมนำมาใช้กับหน่วยผลิตไฟฟ้าแบบกระจายตัวขนาดเล็ก เพราะราคาไม่แพง เทคนิคการตรวจจับแบบโลคอลนี้ยังสามารถที่จะแบ่งได้อีก 3 แบบ คือ เทคนิคการตรวจจับการแยกตัวอิสระแบบพาสซีฟ (Passive Islanding Detection Techniques) เทคนิคนี้จะทำการตรวจวัดพารามิเตอร์ต่างๆ ที่เปลี่ยนแปลงไป อาทิ แรงดัน ความถี่ ผลรวมฮาร์โมนิกส์อื่นๆ ข้อดีคือเทคนิคนี้จะไม่มีการฉีดสัญญาณเข้าไป

รบกวนระบบแต่ข้อเสียคือมีพื้นที่ไร้การตรวจจับกว้าง เทคนิคการตรวจจับการแยกตัวอิสระแบบแอคทีฟ (Active Islanding Detection Techniques) เทคนิคนี้จะฉีดสัญญาณเข้าไปสู่ระบบในจังหวะที่เกิดความสงสัยว่าเกิดสถานะการแยกตัวอิสระแล้วหรือไม่ โดยเทคนิคนี้มีพื้นที่ไร้การตรวจจับเล็กกว่าแบบพาสซีฟ แต่มีข้อเสียคือมีสัญญาณเข้าไปรบกวนคุณภาพไฟฟ้าของระบบ และเทคนิคสุดท้ายคือเทคนิคการตรวจจับการแยกตัวอิสระแบบไฮบริด (Hybrid Islanding Detection Techniques) เป็นการนำคุณลักษณะของทั้ง แบบพาสซีฟ และแบบแอคทีฟ มารวมกัน



รูปที่ 1: จำนวนของบทความที่เกี่ยวข้องกับการแยกตัวอิสระ ที่ได้รับการตีพิมพ์ตั้งแต่ปี 1991 (Key word : Islanding)

ในบทความนี้จะนำเสนอ เทคนิคการตรวจจับการแยกตัวอิสระแบบพาสซีฟ โดยในบทความจะกล่าวถึงสถานะการแยกตัวอิสระ เทคนิคการตรวจจับการแยกตัวอิสระแบบพาสซีฟว่าประกอบด้วยเทคนิคใดบ้างและมีมาตรฐานสำคัญอะไรที่เกี่ยวข้อง รวมทั้งยกตัวอย่างการดำเนินการใช้งานเทคนิคแบบพาสซีฟ และสรุปเป็นส่วนสุดท้ายของบทความ

2. สถานะการแยกตัวอิสระ

สถานะการแยกตัวอิสระ (Islanding Condition) เป็นสถานะที่เกิดขึ้นเมื่อ โครงข่ายระบบไฟฟ้ากำลัง หยุดการจ่ายกระแสไฟฟ้าเข้าสู่ระบบเพื่อจ่าย ภาระไฟฟ้า (Load) แต่ หน่วยผลิตไฟฟ้าแบบกระจายตัว (Distributed Generation) ยังคงจ่ายกระแสไฟฟ้าเข้าสู่ระบบเพื่อจ่ายกระแสไฟฟ้าให้กับภาระไฟฟ้าอยู่ สถานะการแยกตัวอิสระนี้อาจเกิดได้จากหลายสาเหตุ เช่น เกิดจากการเกิดการลัดวงจรในระบบไฟฟ้ากำลัง โดยในฝั่งของการไฟฟ้าสามารถตรวจจับการลัดวงจรนี้ได้และหยุดการจ่ายไฟฟ้าเข้าสู่ระบบโครงข่ายไฟฟ้ากำลัง ณ ตำแหน่งนั้นๆ แต่ หน่วยผลิตไฟฟ้าแบบกระจายตัวไม่สามารถตรวจจับการลัดวงจรที่เกิดขึ้นนี้ได้จึงยังคงจ่ายไฟฟ้าเข้าสู่ระบบโครงข่ายไฟฟ้ากำลังเช่นเดิม หรือ อาจเกิดจากการทำงานที่ผิดพลาดของอุปกรณ์ของการไฟฟ้า หรือ ความล้มเหลวใน

ตารางที่ 1: สรุปสาระสำคัญที่น่าสนใจที่สุดของมาตรฐานที่เกี่ยวข้องกับการต่อต้านการแยกตัวอิสระ [6]

	IEC 62116	IEEE 1547	IEEE 929	JET Std. 2002	Korean PV 501, 2008
Quality factor, Q_f	1	1	2.5	0 (+ rotating machinery) Passive: $t < 0.5$ s	1
Required islanding detection time, t	$t < 2$ s	$t < 2$ s	$t < 2$ s	active: 0.5 s $< t < 1$ s	$t < 0.5$ s
Normal frequency range, f (nominal frequency f_0)	$(f_0 - 1.5 \text{ Hz}) \leq f$ and $f \leq (f_0 + 1.5 \text{ Hz})$	$59.3 \text{ Hz} \leq f \leq 60.5 \text{ Hz}$	$59.3 \text{ Hz} \leq f \leq 60.5 \text{ Hz}$	Setting value	$59.3 \text{ Hz} \leq f \leq 60.5 \text{ Hz}$
Normal voltage range, V (% of nominal voltage V_0)	$85\% \leq V \leq 115\%$	$88\% \leq V \leq 110\%$	$88\% \leq V \leq 110\%$	Setting value	$88\% < V \leq 110\%$

การทำงานเนื่องจากความเสียหายของอุปกรณ์ของการไฟฟ้า หรือ เกิดจากความผิดพลาดของผู้ดูแลระบบของการไฟฟ้า หรือ ผลจากการกระทำจากธรรมชาติ หรือ อื่นๆ

การเกิด สภาวะการแยกตัวอิสระ นี้ควรจะหลีกเลี่ยง เพราะ เมื่อเกิดขึ้นแล้ว จะทำให้ แรงดันและความถี่ ณ จุดที่เกิดการแยกตัวออกไปนั้นเปลี่ยนแปลงซึ่งเป็นไปได้ที่ขนาดของแรงดันและความถี่ที่เกิดขึ้นจะไม่อยู่ในขอบเขตที่ยอมรับของอุปกรณ์เป็นผลให้เกิดความเสียหายต่ออุปกรณ์นั้นๆ อาจส่งผลกระทบต่อการทำงานของอุปกรณ์ต่างๆของการไฟฟ้า อาจสร้างอันตรายให้เกิดขึ้นกับผู้ปฏิบัติงาน ณ สายส่งที่สัมพันธ์กับการเกิดสภาวะแยกตัวอิสระเพราะในสายส่งยังมีไฟฟ้าที่ส่งมาจากหน่วยผลิตไฟฟ้าแบบกระจายตัวแต่มีการสันนิษฐานว่าไม่มีไฟฟ้าในสายส่งนั้นแล้ว เมื่อมีการกลับเข้ามาเชื่อมต่อในโครงข่ายระบบไฟฟ้าอีกครั้งหลังจากที่แยกออกไปก่อนหน้าอาจจะส่งผลให้เกิดการ รีทริป (Re-Tripping) หรือ เกิดความเสียหายกับอุปกรณ์ต่างๆ เพราะ เกิดความต่างเฟส [3],[4]

3. เทคนิคการตรวจจับการแยกตัวอิสระแบบพาสซีฟ

การจะศึกษาเกี่ยวกับเทคนิคที่ใช้ในการตรวจจับสภาวะแยกตัวอิสระ จะมีองค์ประกอบหนึ่งที่สำคัญคือ พื้นที่ไร้การตรวจจับ (Non-Detection Zone; NDZ) เป็นขอบเขตของความแตกต่างระหว่างกำลังไฟฟ้าที่จ่ายออกมาของหน่วยผลิตไฟฟ้าแบบกระจายตัวกับการบริโภคกำลังไฟฟ้าของโหลด ซึ่งหากดำเนินการตรวจจับการแยกตัวอิสระ ภายใต้อุปกรณ์การตรวจจับจะล้มเหลว [5]

การแก้ปัญหาสภาวะการแยกตัวอิสระมีมาตรฐานหลักๆ ที่เกี่ยวข้อง ประกอบด้วย IEEE Std. 929, IEEE Std. 1547, The international standard IEC 62116, UL 1741, Japanese Standard (JET Std. 2002), และ Korean Standard (Korean PV 501, 2008) โดยในตารางที่ 7 แสดงสรุปสาระสำคัญที่น่าสนใจที่สุดของมาตรฐาน โดยทั่วไปทุกมาตรฐานมีบทสรุปที่สำคัญตรงกันหรือไปทำนองเดียวกัน

ว่าระบบเชื่อมต่อของหน่วยผลิตไฟฟ้าแบบกระจายตัวจะต้องตรวจจับและหยุดการจ่ายกระแสไฟฟ้าเข้าสู่โครงข่ายระบบไฟฟ้ากำลังภายในสองวินาทีเมื่อสภาวะแยกตัวอิสระเริ่มเกิดขึ้น [6],[7]

3.1 Over/Under-Voltage และ Over/Under-Frequency

Over/under-voltage (OUV) of passive islanding detection technique และ over/under-frequency (OUF) of passive islanding detection technique ทั้งคู่เป็นเทคนิคที่เหมือนกันในการใช้งานแต่ต่างกันเพียงว่าจะวัดแรงดันหรือจะวัดความถี่ ณ จุด Point of Common Coupling (PCC) โดยสามารถใช้รีเลย์ตรวจจับ ณ จุด PCC เพื่อต่อต้านสภาวะการแยกตัวอิสระโดยทำการตั้งค่าของรีเลย์ให้ตรวจจับ แรงดัน/ความถี่ เกิน หรือ แรงดัน/ความถี่ ต่ำกว่าที่กำหนดไว้ตามมาตรฐาน เพื่อให้เมื่อเกิดการจ่ายไฟแบบแยกตัวอิสระเกิดขึ้นรีเลย์จะปลดหน่วยผลิตไฟฟ้าแบบกระจายตัวออกไปจากระบบ ส่วนหากไม่ใช้รีเลย์ก็สามารถให้ระบบควบคุมของหน่วยผลิตไฟฟ้าแบบกระจายตัวนั้นๆ สั่งให้หน่วยผลิตไฟฟ้าแบบกระจายตัวหยุดจ่ายกระแสไฟฟ้าเข้าสู่โครงข่ายระบบไฟฟ้ากำลัง [5],[8]

3.2 Phase jump

Phase jump of passive islanding detection technique หรือ Phase Jump Detection (PJD) เป็นวิธีการที่เกี่ยวข้องกับการติดตามการกระโดดของแรงดันอินเวอร์เตอร์อันเป็นผลมาจากความแตกต่างระหว่างแรงดันอินเวอร์เตอร์กับกระแสอินเวอร์เตอร์ที่ออกจากเอาต์พุต โดยในการใช้งานปกติกระแสอินเวอร์เตอร์จะอินเฟสกับแรงดันอินเวอร์เตอร์ผ่าน Phase Locked Loop (PLL) รูปที่ 2 แสดงให้เห็นถึงการเปลี่ยนแปลงของแรงดันอินเวอร์เตอร์เมื่อการไฟฟ้าหยุดจ่ายกระแสไฟฟ้าเข้าระบบ ปรากฏการณ์นี้จะปรากฏเฉพาะกรณีที่ DG ใช้อินเวอร์เตอร์ต่อผ่านเข้าสู่โครงข่ายระบบไฟฟ้ากำลัง โดยจุดเด่นของวิธีการ PJD คือ

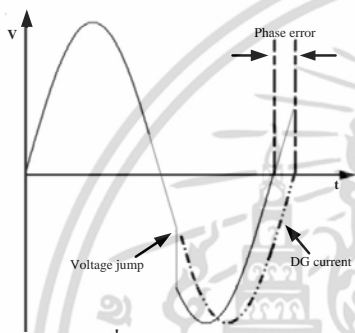
ง่ายในการดำเนินการใช้งานเนื่องจากอินเวอร์เตอร์ใช้ PLL

ไม่วุ่นวายใดๆ ทั้งสิ้น อีกทั้งห้ามมิให้ตัดแปลงเนื้อหา และต้องอ้างอิงถึงเจ้าของเอกสารทุกครั้งที่มีการนำไปใช้

ซึ่งโครโนสเข้ากับ กริด (Grid) โดยอินเวอร์เตอร์จะตัดตัวเองออกจากกริดถ้าเกิด phase error ระหว่างกระแสเอาต์พุตและแรงดันเอาต์พุตเกินกว่าขอบเขตที่กำหนดไว้ แต่วิธีการนี้มีข้อเสียคือยากที่จะดำเนินการในการกำหนดขอบเขตในโหลดบางประเภท เช่น มอเตอร์ [6],[7]

3.3 Detection of voltage and current harmonics

Detection of voltage and current harmonics of passive islanding detection technique เป็นวิธีการที่จะทำการวัด Voltage Total Harmonic Distortion (THD_v) ที่จุด PCC โดยนำค่าที่วัดได้เปรียบเทียบกับเกณฑ์ที่กำหนดไว้ หากค่าที่ได้เกินกว่าเกณฑ์ที่กำหนดไว้อินเวอร์เตอร์จะตัดตัวเอง



รูปที่ 2: การใช้งาน PJD.

ออกจากกริด โดยในการใช้งานปกติแรงดันที่ จุด PCC จะถูกควบคุมโดยกริด เมื่อเกิดสถานะแยกตัวอิสระ DG จะควบคุมแรงดันที่ จุด PCC แทนและทำให้ปริมาณของฮาร์โมนิกส์เพิ่มขึ้น [6],[9],[10]

วิธีการนี้เป็น การวัด Voltage Total Harmonic Distortion (THD_v) ที่ทุกฮาร์โมนิกส์ หรือ ใช้เพียงฮาร์โมนิกส์หลัก คือ 3rd, 5th และ 7th

มันเป็นไปได้ที่จะใช้ Phase Locked Loop (PLL) ในการติดตามจัดหาค่าของฮาร์โมนิกส์ ปริมาณสูงสุดของฮาร์โมนิกส์แรงดันกริด (Grid voltage harmonics) เป็นการรายงานในตารางที่ 2

ตารางที่ 2: ปริมาณแรงดันฮาร์โมนิกส์ [11]

Harmonic order (h)	3	5	7	9	11	13
Amplitude (%)	5	6	5	1.5	3.5	3

ข้อดีของวิธีการนี้คือประสิทธิภาพจะไม่เปลี่ยนแปลงเมื่อมีการใช้งานอินเวอร์เตอร์หลายตัวต่อเข้ากับกริด แต่อ่อนไหวต่อการรบกวนทำให้การตั้งเกณฑ์ยากมาก เช่น ใน โหลดไม่เป็นเชิงเส้น (non-linear loads) ความผิดเพี้ยนที่จุด PCC สามารถสูงซึ่งอาจจะตรวจจับผิดพลาด

3.4 Detection based on state estimators [10].

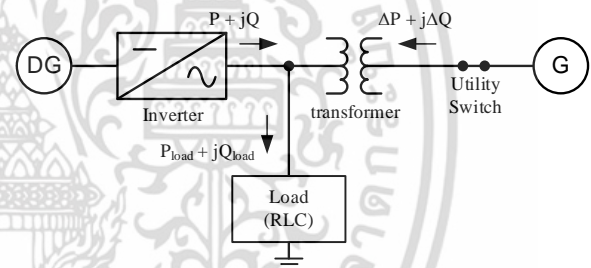
Detection based on state estimators of passive islanding detection technique เป็นวิธีการที่มีโอเดียพื้นฐาน

ในการประยุกต์การควบคุมแรงดันร่วมกับการควบคุมรีโซแนนซ์ โดยอัลกอริทึมอยู่บนฐานของ คาลมานฟิลเตอร์ (Kalman filters) เป็นการ ใช้การประเมินค่า ฮาร์โมนิกส์ ที่ 3rd และ 5th ของ แรงดันกริด

ข้อดีของเทคนิคนี้คือเป็นวิธีการตรวจจับการแยกตัวอิสระแบบพาสซีฟที่ไม่ส่งผลกระทบต่อคุณภาพไฟฟ้าของระบบไฟฟ้ากำลัง มันมี NDZ ต่ำ และอัตราการตรวจจับการแยกตัวอิสระสูง อย่างไรก็ตามมันเรียกถึงความซับซ้อนมากขึ้นในการเขียนโปรแกรมเมื่อเปรียบเทียบกับเทคนิคอื่นๆ ของพาสซีฟในการตรวจจับการแยกตัวอิสระ

4. Over/Under-Voltage Technique

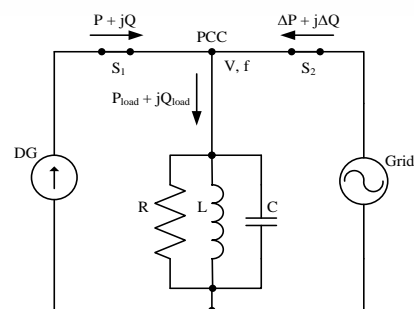
ในส่วนนี้จะแสดงการใช้ประโยชน์จาก Over/Under-voltage technique โดยจะกล่าวถึงการหา พื้นที่ไรกริดตรวจจับ (NDZ) เพื่อให้เกิดความสมบูรณ์ยิ่งขึ้นในการใช้ประโยชน์จากเทคนิคนี้ ปกติการหา NDZ ของแต่ละเทคนิคเป็นสิ่งที่ค้นหาได้ยาก แต่เทคนิค over/under-voltage สามารถค้นหาได้ [7] โดยจะแตกต่างกันระหว่างกริดของ Inverter-based DG กับ Synchronous-based DG



รูปที่ 3: การต่อ DG เข้า Grid ผ่านอินเวอร์เตอร์

กรณี Over/Under-voltage of passive islanding detection technique of inverter-based DG สามารถหา Non-detection zone (NDZ) ด้วยการวิเคราะห์ได้ดังต่อไปนี้

โดยทั่วไปสามารถสันนิษฐานได้ว่าโหลดเป็นวงจรสร้างของวงจร RLC ขนาน และสามารถแปลงวงจรในรูปแบบที่ 3 เป็นวงจรสมมูลย์ในรูปแบบที่ 4 [7],[12]



รูปที่ 4: วงจรสมมูลย์ของ DG ต่อเข้า Grid ผ่านอินเวอร์เตอร์

จากรูปที่ 4 จะเห็น โหนด “PCC” หรือ จุด PCC ซึ่งจุดนี้เป็นจุดที่จะทำการวัดค่าต่างๆ ทั้งก่อนและหลังการเกิดสถานะการแยกตัวอิสระ เพื่อนำมาเปรียบเทียบกัน

เมื่อ กริดของการไฟฟ้า ต่อเข้ามา (S_2 is closed) เพื่อจ่ายโหลด $P + jQ$ จะไหลจาก DG system สู่ โหนด “PCC” และ $P_{load} + jQ_{load}$ จะไหลจาก โหนด “PCC” เข้าไปสู่โหลด โดยที่ กำลังไฟฟ้าที่มาจาก กริดของการไฟฟ้า เข้าสู่ โหนด “PCC” คือ $\Delta P + j\Delta Q$ ดังนั้นจะวิเคราะห์ให้ได้ดังสมการที่ (1)

$$\begin{aligned} P_{load} &= P + \Delta P \\ Q_{load} &= Q + \Delta Q \end{aligned} \quad (1)$$

และ มุมของ โหลด ความถี่รีโซแนนซ์ และแฟคเตอร์คุณภาพ ดังสมการที่ (2)

$$\begin{aligned} |z| &= \frac{1}{\sqrt{\frac{1}{R^2} + \left(\frac{1}{\omega L} - \omega C\right)^2}} \\ \phi_{load} &= \tan^{-1}\left[Q_f \left(\frac{f_0}{f} - \frac{f}{f_0}\right)\right] \\ f_0 &= \frac{1}{2\pi\sqrt{LC}} \\ Q_f &= R\sqrt{\frac{C}{L}} \end{aligned} \quad (2)$$

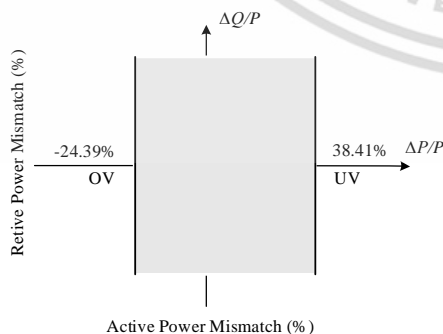
วิเคราะห์แล้วได้ พื้นที่ไร้การตรวจจับของกำลังไฟฟ้าจริง

$$\left(\frac{V}{V_{max}}\right)^2 - 1 \leq \frac{\Delta P}{P} \leq \left(\frac{V}{V_{min}}\right)^2 - 1 \quad (3)$$

จาก IEC 62116 ในตารางที่ 1 กำหนดค่า $V_{max} = 115\%$, $V_{min} = 85\%$ แทนค่าที่ได้ในสมการที่ 3 (เลือกค่า IEC 62116 แทนค่าเพราะ ประเทศไทยใช้ความถี่ 50 Hz)

$$-24.39 \leq \frac{\Delta P}{P} \leq 38.41\%$$

ดังนั้นสามารถวาด พื้นที่ไร้การตรวจจับ ได้ดังรูปที่ 5



รูปที่ 5: พื้นที่ไร้การตรวจจับของ OUV

การทดลองต่อไปนี้ จะแสดงให้เห็นถึงปรากฏการณ์ของแรงดันที่เกิดขึ้นภายหลังจากเกิดสถานะการแยกตัวอิสระ

เอกสารนี้เป็นเอกสารที่สงวนไว้สำหรับการใช้งานเพื่อการศึกษาค้นคว้าเท่านั้น ไม่อนุญาตให้นำไปใช้ประโยชน์ด้านการค้า

ไม่ว่ากรณีใดๆ ทั้งสิ้น อีกทั้งห้ามมิให้ดัดแปลงเนื้อหา และต้องอ้างอิงถึงเจ้าของเอกสารทุกครั้งที่มีการนำไปใช้

เป็นอย่างไรรวมทั้งสัมพันธ์อย่างไรกับพื้นที่ไร้การตรวจจับ โดยเป็นการทดลองตามนิยามใน UL 1741-1999, IEEE Std. 929-2000 and IEEE Std. 1547-2003 [3],[4],[7]

โดยจะใช้ RLC ต่อขนานเข้าไปเป็นโหลด และให้ RLC โหลด มีความถี่รีโซแนนซ์เช่นเดียวกับความถี่ที่มาจากริด นั่นคือจะได้ เพาเวอร์แฟคเตอร์ (PF) = 1 สถานะที่กำหนดในการทดลองนี้เป็นสถานะที่ยากในการตรวจจับการแยกตัวอิสระ และจะยากที่สุดในการตรวจจับการตัวแยกอิสระ เมื่อ กำลังไฟฟ้าจริงของ DG (P) เท่ากับ กำลังไฟฟ้าจริงของ Load (P_{load}) [3],[7] ในการทดลอง จะแทนที่ค่าต่างๆ ในรูปที่ 3 โดยให้ R เป็น R ชนิดปรับค่าได้ จะทำการวัดค่า R ขณะทดลองเป็น กำลังไฟฟ้าจริง (P_{load}), $L = 101.424$ mH $C = 100$ μ F จะได้ $X_L = 31.84$ Ohm และ $X_C = 31.84$ Ohm ดังนั้น โหลดจะเป็นโหลดในสถานะรีโซแนนซ์ เพราะ $X_L = X_C$ และจะทำให้ $Q_{load} = 0$ ด้วย นอกจากนี้ จะแทน DG ด้วย DC Source และจะสร้างสถานะการแยกอิสระโดย เปิดสวิตช์ S_2 ชุดทดลองพร้อมเครื่องมือต่างๆที่ใช้ในการทดลองแสดงในรูปที่ 6



รูปที่ 6: การทดลองในห้องปฏิบัติการวิจัยและพัฒนาอิเล็กทรอนิกส์กำลัง

ในการทดลองจะใช้อินเวอร์เตอร์ขนาด 1 kW ดังนั้น กำลังไฟฟ้าจริงที่ออกมาจากอินเวอร์เตอร์จะเป็น $P = 1$ kW คงที่ และเพาเวอร์แฟคเตอร์จากอินเวอร์เตอร์จะเป็น $PF = 1$ การทดลองจะเปลี่ยนแปลง P_{load} จาก 600 W ถึง 1,200 W (100 W ต่อครั้ง) ผลการทดลองที่ได้แสดงในตารางที่ 3

ตารางที่ 3: ความสัมพันธ์ระหว่างแรงดันกับกำลังไฟฟ้าจริง

P_{load} (kW)	P (kW)	ΔP (kW)	$\Delta P/P$ (%)	On Grid			Off Grid
				V_{PCC} (V)	V_{PCC}^* 115%	V_{PCC}^* 85%	V_{PCC} (V)
0.6	1	-0.4	-40	226.3	260.2	192.4	253.2
0.77	1	-0.3	-30	233.4	268.4	198.4	249.3
0.8	1	-0.2	-20	231.6	266.3	196.9	240.5
0.9	1	-0.1	-10	229.8	264.3	195.3	191.0
1	1	0	0	229.8	264.3	195.3	175.0
1.1	1	0.1	10	226.3	260.2	192.4	159.1
1.2	1	0.2	20	229.8	264.3	195.3	148.5

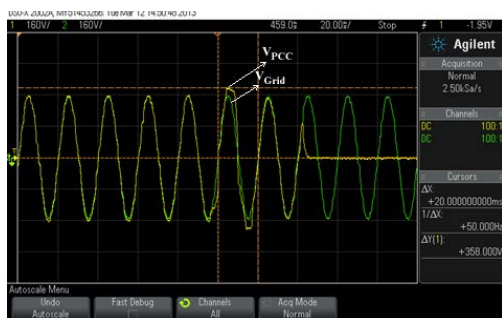
ผลการทดลองในตารางที่ 3 จะเห็นได้ว่าผลการทดลองสอดคล้องกับสมการที่ (3) และรูปที่ 5 แต่อาจจะไม่ตรงกันอย่างสมบูรณ์เพราะการทดลองกระทำในโหลดที่ยากที่สุดใน การตรวจจับการแยกตัวอิสระ โดยผลการทดลองสามารถอธิบายได้ดังนี้ว่า หากการตรวจจับ แรงดันเกินหรือแรงดันต่ำ กระทำโดยการกำหนดค่าให้คงที่โดยเทียบกับแรงดันที่ใช้ในประเทศไทยคือ 220 V ดังนั้นจะได้ว่าหากแรงดันเกินกว่า 253 V ($220 \times 115\%$) หรือ แรงดันต่ำกว่า 187 V ($220 \times 85\%$) แสดงว่าได้เกิด สถานะแยกตัวอิสระขึ้นแล้ว และจะต้องสั่งให้ DG หยุดการจ่ายกระแสไฟฟ้าเข้าระบบ จะเห็นได้ว่าหลังจากที่ Off-Grid ทำให้เกิดสถานะแยกตัวอิสระเกิดขึ้น แรงดันที่จุด PCC คือ V_{PCC} จากแถวที่ 1, 5, 6 และ 7 สูงกว่าเกณฑ์ของแรงดันเกินและต่ำกว่าเกณฑ์ของแรงดันต่ำ ซึ่งค่าเหล่านี้จะบ่งบอกว่าได้เกิดสถานะแยกตัวอิสระขึ้นแล้ว ส่วนแรงดันที่เกิดขึ้นในแถวที่ 2, 3 และ 4 ไม่สามารถตรวจจับได้เพราะอยู่ใน พื้นที่ไร้อุปกรณ์ตรวจจับ ผลการทดลองอาจจะไม่ตรงอย่างสมบูรณ์แต่ก็พอให้สังเกตเห็นได้ว่า พื้นที่ไร้อุปกรณ์ตรวจจับ คือ ระหว่าง

$$-24.39 \leq \frac{\Delta P}{P} \leq 38.41\%$$

หากเปลี่ยนแปลงกำลังไฟฟ้าจริงทำให้ $\Delta P/P$ เข้าไปอยู่ในพื้นที่นี้ จะทำให้แรงดันภายหลังการเกิดสถานะแยกตัวอิสระที่จุด PCC คือ V_{PCC} จะไม่สูงกว่าเกณฑ์ของแรงดันเกินและไม่ต่ำกว่าเกณฑ์ของแรงดันต่ำ ทำให้เทคนิคนี้ไม่สามารถตรวจจับการแยกตัวอิสระที่เกิดขึ้นได้ ส่วนรูปที่ 7 เป็นผลการทดลองจากการใช้เทคนิคนี้ โดยแรงดันที่เกิดขึ้นคือ V_{PCC} เป็นแรงดันที่สูงกว่าเกณฑ์ของแรงดันเกินทำให้อินเวอร์เตอร์สั่งหยุดการจ่ายกระแสไฟฟ้าเข้าระบบ โดย V_{Grid} เป็นแรงดันกริดอยู่ใกล้ด้านของ S_2 เมื่อเทียบกับ PCC

5. สรุป

จากผลการทดลองแสดงให้เห็นว่า เทคนิคการตรวจจับการเกิดการจ่ายไฟแบบแยกตัวอิสระแบบพาสซีฟเป็นเทคนิคที่ ไม่มีการฉีดสัญญาณรบกวนไปยังโครงข่ายระบบไฟฟ้ากำลัง การนำไปดำเนินการใช้งานไม่ยาก มีราคาไม่แพง แต่ยังมีจุดอ่อนคือมี พื้นที่ไร้อุปกรณ์ตรวจจับ



รูปที่ 7: การทดลองเมื่อ $P_{load} = 600$ W และ $P = 1$ kW

6. กิตติกรรมประกาศ

ผู้เขียนขอขอบคุณ รศ. ดร. สุทธิชัย เปรมฤดีปริญญา ภาควิชาวิศวกรรมไฟฟ้า คณะวิศวกรรมศาสตร์ มหาวิทยาลัยเชียงใหม่ ที่เป็นผู้ฝึกฝน ชี้แนะแนวทางในการทำงานวิจัย และการเขียนบทความวิจัย ในระดับนานาชาติ แก่ผู้เขียน

7. เอกสารอ้างอิง

- [1] REN21, "Renewables 2012 global status report," Renewable Energy Policy Network for the 21st Century, 2012.
- [2] A. M. Massoud, K. H. Ahmed, S. J. Finney and B. W. Williams, "Harmonic distortion-based island detection technique for inverter-based distributed generation," IET Renewable Power Generation, Vol.3, No.4, pp.493-507, 2009.
- [3] IEEE recommended practice for grid interface of photovoltaic (PV) systems, IEEE Std. 929, 2000.
- [4] IEEE Standard for Interconnecting Distributed Resources with Electric Power Systems. IEEE Std. 1547, 2003.
- [5] D. Velasco, C.L. Trujillo, G. Garcera and E. Figueres, "Review of anti-islanding techniques in distributed generators," Renewable and Sustainable Energy Reviews 14, pp.1608-1614, February 2010.
- [6] Byunggyu Yu, Mikihiko Matsui and Gwonjong Yu, "A review of current anti-islanding methods for photovoltaic power system," Solar Energy 84, pp.745-754, March 2010.
- [7] Zhihong Ye, Amol Kolwalkar, Yu Zhang, Pengwei Du and Reigh Walling, "Evaluation of Anti-Islanding Schemes Based on Nondetection Zone Concept," IEEE Transactions on Power Electronics 19, pp.1171-1176, September 2004.
- [8] Manop Yingram and Suttichai Premrudeepreechacharn, "Investigation Over/Under-Voltage Protection of Passive Islanding Detection Method of Distributed Generations in Electrical Distribution Systems," ICRERA, Japan, 2012.
- [9] Jang S and Kim K., "An islanding detection method for distributed generations using voltage unbalance and total harmonic distortion of current," IEEE Transactions on Power Delivery, Vol.19, No.2, pp.745-52, April 2004.
- [10] Liserre M, Pigazo A, Dell'Aquila A and Moreno VM., "An anti-islanding method for single-phase inverters based on a grid voltage sensorless control," IEEE Transactions on Industrial Electronics, Vol.53, No.5, pp.1418-26, October 2006.
- [11] De Mango F, Liserre M, Aquila AD and Pigazo A., "Overview of anti-islanding algorithms for PV systems. Part I: Passive methods," 12th international power electronics and motion control conference, EPE-PEMC 2006, pp.1878-83, August 2006.
- [12] M. Valentini, S. Munk-Nielsen, F. Valderrey Sanchez and U. Martinez De Estibariz, "A New Passive Islanding Detection Method for Grid-Connected PV Inverters," International Symposium on Power Electronics, 2008.

ไม่ว่าการณีใดๆ ทั้งสิ้น อีกทั้งห้ามมิให้ดัดแปลงเนื้อหา และต้องอ้างอิงถึงเจ้าของเอกสารทุกครั้งที่มีการนำไปใช้